

都立大学 学生会員 宮野道雄

1. まえがき 本報告は、1923年関東大地震の断層モデルを用いて理論地震波を求め、その最大変位分布と被害分布の対応性を検討し、さらに工学的にみて、より適切な震央を明確にすることを目的としている。ところで、断層モデルから生成する地震波のうち、短周期成分の存在を説明する決定論的モデルについては今後さらに多くの検討が必要とする。一方、一般的な震害を引き起こしたのはより短周期の地震波と考えられるが、ある程度マクロにみれば、その振幅の大小の分布は長周期のそれと全く傾向が異なることはないと想われる。したがって、ここでは観測波とかなり良く対応するといわれる長周期の成分について計算する。

2. 方法 理論地震波は佐藤¹⁾が示した無限媒質中に矩形の断層面を想定し、この面内で破壊が進行することにより生ずる地震の変位波を計算する手法によって求めている。

断層モデルは、金森・安藤²⁾が地震学的データに基づいて求めたものを用いた(図-1)。計算に用いた諸元は表-1にまとめて示すが、このうち C_1 , C_2 , V_p , V_s は幾つかの文献を参照して仮定した。また、震源関数は立上り時間 5 秒の ramp function を仮定し(図-2)、計算の時間割合は 0.5 秒とした。ところで、ここでの計算は関東大地震時の主な被災地域における地震動の最大変位分布を知ることが目的であるから、その実施にあたっては、断層の水平投影面を主体とする範囲を、strike, dip 方向に 10 km × 10 km のメッシュに分割し、それを交換における変位を求めることにした。ただし、変位が大きく変化する断層線近傍では 5 km × 5 km の補助メッシュを設けた。理論地震波の変位記録はそれぞれの交換で、P 波, S 波別に EW, NS, UP-DOWN 方向の三成分に分けて時刻歴で得られるが、後に示す結果では P 波と S 波を重ね合わせて得られる変位波の EW, NS 両水平成分の値をベクトル合成し、その最大値を各交換の値としている。以上のような計算を行った交換の数は約 360 であり、計算時間は変位の最大値が現われる時刻が交換の位置により異なるため、90, 100, 110, 120 秒間の 4 種とした。なお、初期 P の震源は、理学年表によれば $35.2^\circ N$, $139.3^\circ E$ であり(図-1 の X 印の位置)、厳密には bilateral とすべきではあるが、比較的端部にあるため、ここでは図-1 の 1 で示される单一破壊の始発点とする unilateral な破壊伝播を想定した。

3. 結果および考察 図-3 のコンターラインは、上述のようにして求めた各交換の最大変位から定めたものであるが、この変位分布が意味するところをまとめてみれば次のようになる。

(1). 断層線 1-2 を震央として、断層の上盤側(1-2 の北東側)と下盤側の変位は大きな差異を示す。すなわち、上盤側の最大

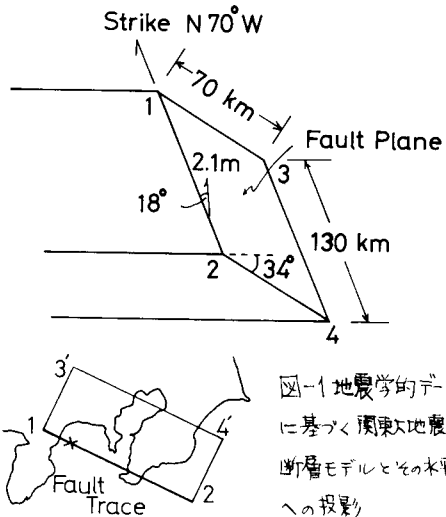


図-1 地震学的データに基づく関東大地震の断層モデルとその水平面への投影

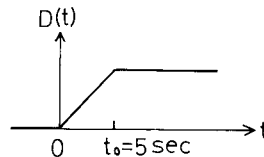


図-2 震源の変位時間関数

表-1 計算に用いた諸元

断層の長さ (L)	130 km
断層の幅 (W)	70 km
断層の長さ方向の破壊速度 (C_1)	2.5 km/sec
断層の幅方向の破壊速度 (C_2)	2.5 km/sec
断層の走向 (φ_s)	N 70°W
断層の傾斜角 (δ)	34°
断層のスリップの方向角(入)	18°
断層の最終運動位置 (D)	2.1 m
無限媒質の P 波速度 (V_p)	6.1 km/sec
無限媒質の S 波速度 (V_s)	3.5 km/sec
震源時間関数の立上り時間 (t_0)	5.0 sec
計算時間割合 (Δt)	0.50 sec
積分分割数 決定のための定数	50

変位80cm、下盤側の20cmのそれぞれのセンターインが示すように、断層線からほぼ等距離の地表上において前者は後者のほぼ4倍程度の値となっている。逆断層の上盤側と下盤側における、このような差異は被害分布の面からみれば理解できよう。筆者らは、関東大地震の測地学的断層モデルの断層線からの距離・地形と木造家屋全壊率の関係を検討しているが、そなと同様の手法で、本報告での計算に用いた地震学的断層モデルの断層線(図-1の1-2線)からの距離と木造家屋全壊率の関係を求めたものが図-4である。図-3と図-4ににおける上盤側と下盤側の値の差異を比較してみると、両者の間に大きな差異はみられず、よく調和しているといえよう。

(2) 地震学における震源は initial P の波源であるが、工学とりわけ地域地震防災研究の立場からの震源(震央)は、そこからの距離との関係として、震央至近傍までを含めた任意の地表の地震動の強さ(地震危険度)が連続的に表現しうるもの灰暗ましい。図-3の結果は、そのことに対する示唆を与えてくれる。すなわち、dip angle が比較的小さい、このような逆断層においても、震央として断層線を考えることに大きな無理はないようである。しかししながら、断層線の中央付近から端部に向うにつれて、距離の地震動によよぼす寄与度が小さくなっている。また、破壊の進行方向に向う doppler 効果がみられ、図-3の3地表の近傍に比べて地表の近傍では大きな変位がより遠方におよんでいる。したがって、この断層線を震央とする場合でも、最大変位の分布を考慮した震央距離の補正、場合によっては、破壊の伝播型による補正も必要となる。筆者らは文献³⁾で、断層の長さ L を横円の長軸、幅 W の水平投影を短軸とみなし、その震央の内側の断層線を震央(線)とみなすことで端部の効果を表現したが、図-3の1-2線両端の効果からみる限り、この考え方には大体妥当であったといえよう。なお、どのように考えるにしても、各種の検討を加える際には、上盤側と下盤側は区別して表現せざるを得ない。

(3) 実体波の振幅は理論的には $1/r$ に比例する。そのため、図-3に示す上盤側の断層線近傍では、大体距離に比例して変位が減少しているが、筆者らの求めた木造家屋全壊率と震央距離の関係は、いざやけの地形上においても大体2組の指数関数で表わされた。このような点からみれば、図-3の最大変位分布は実際に生じた木造家屋全壊率と震央距離の関係とは必ずしも十分対応しないことになる。これは、本報告で用いたような単純なモデルでは表現しきれない点であり、今後の課題と考えている。

末尾ながら、御指導いただいた東京都立大学工学部望月利男先生、同岡井隆弘先生に謝意を表します。

[文献]

- 1) R. Sato: Fast Computation of Theoretical Seismograms for an Infinite Medium Part 1. Rectangular Fault, J. Phys. Earth Vol 23, 1975.
- 2) 金森博雄・安藤雅彦: 関東大地震の断層モデル、関東大地震 50周年論文集、1973.
- 3) 望月利男・宮野道雄・松田磐余: 1923年関東大地震における木造家屋の被害の検討、日本建築学会論文報告集 第270号、1978.

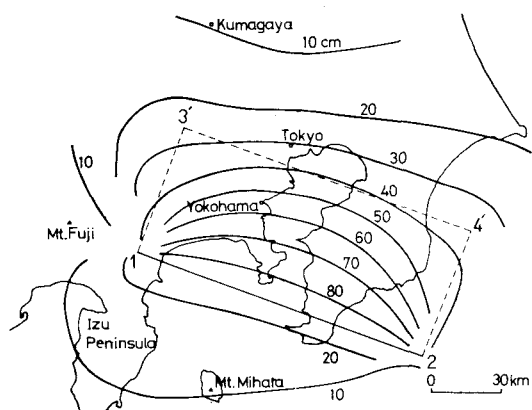


図-3 理論地震波の最大変位分布

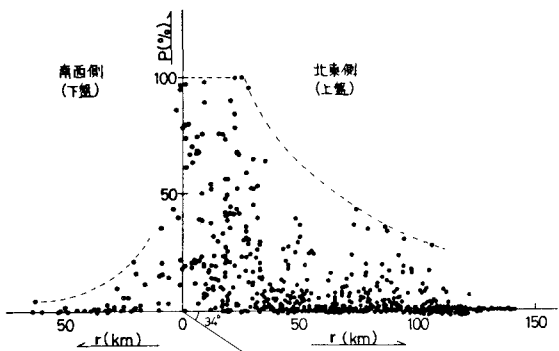


図-4 震央距離 r と木造家屋全壊率 P の関係

東西側(下盤) 北東側(上盤)

$P(\%)$

$r(km)$

$r(km)$